

ТЕОРИЯ И МЕТОДЫ  
ОБРАБОТКИ СИГНАЛОВ

УДК 621.391.2

СУБОПТИМАЛЬНЫЕ АЛГОРИТМЫ С ПЕРЕПРИСВОЕНИЕМ  
ПАРАМЕТРОВ ДЛЯ ПРИЕМА И ОБРАБОТКИ ВОС-СИГНАЛОВ  
В ГЛОБАЛЬНЫХ НАВИГАЦИОННЫХ СПУТНИКОВЫХ СИСТЕМАХ

© 2022 г. М. С. Ярлыков<sup>а</sup>, \*, С. М. Ярлыкова<sup>б</sup>, \*\*

<sup>а</sup> Редакция журнала “Радиотехника и электроника”,  
ул. Моховая, 11, стр. 7, Москва, 125009 Российская Федерация

<sup>б</sup> Институт кибернетики Российского технологического университета МИРЭА,  
просп. Вернадского, 78, Москва, 119454 Российская Федерация

\*E-mail: red@cplire.ru

\*\*E-mail: yarlykova@mirea.ru

Поступила в редакцию 05.04.2022 г.

После доработки 24.04.2022 г.

Принята к публикации 26.04.2022 г.

В рамках марковской теории оценивания на основе метода переприсвоения параметров вектора непрерывных процессов разработаны субоптимальные алгоритмы приема и обработки ВОС-сигналов, предназначенных для применения в глобальных навигационных спутниковых системах (ГНСС), таких как GPS (США), ГЛОНАСС (Россия), Galileo (Евросоюз) и BeiDou (Китай). Задача решена применительно к векторному дискретно-непрерывному марковскому случайному процессу для случая, когда его непрерывная часть представляет собой векторный диффузионный марковский процесс, а дискретная часть характеризуется простой цепью Маркова на несколько положений. Принято, что полезные ВОС-сигналы наблюдаются на фоне аддитивного белого гауссовского шума. Получены аналитические соотношения для субоптимальной условной оценки и матрицы ковариаций субоптимальных условных ошибок оценивания выборки вектора непрерывных параметров. Представлены структурные схемы тех модулей субоптимальной системы приема и обработки ВОС-сигналов в ГНСС, которые отличаются от соответствующих модулей квазиоптимальной системы. Результаты работы полностью применимы в случаях шумоподобных сигналов современных ГНСС, у которых ВОС-сигналы пока не используются.

DOI: 10.31857/S0033849422090169

ВВЕДЕНИЕ

Данная работа является развитием предыдущей работы [1], в которой на базе марковской теории оценивания (МТО) методом синтеза с переприсвоением параметров вектора непрерывных процессов (НП) были получены аналитические соотношения для оптимальных и квазиоптимальных алгоритмов приема и обработки навигационных шумоподобных сигналов (ШПС) и, в частности, перспективных ВОС-сигналов (binary offset carrier modulated signals), глобальных навигационных спутниковых систем (ГНСС), таких как GPS (США), Galileo (Европейский союз), ГЛОНАСС (Россия) и BeiDou (Китай), а также региональных навигационных спутниковых систем NavIC (Индия) и QZSS (Япония) [2–6].

При реализации на практике в приемниках ГНСС синтезированных квазиоптимальных алгоритмов с учетом области применения и круга решаемых задач на них, как правило, накладываются

дополнительные ограничения и приближения. В результате в приемниках ГНСС используются субоптимальные (более простые) алгоритмы.

В работе полагаем, что приемник ГНСС установлен на высокодинамичном подвижном объекте, в частности, на летательном аппарате (ЛА), таком как самолет, вертолет, беспилотный ЛА и т.д. При этом определение местоположения и параметров динамики перемещения подвижного объекта в ГНСС основывается на псевдодальномерном беззапросном методе, при котором требуется одновременная видимость минимум четырех навигационных космических аппаратов (НКА) [5, 6].

Чтобы на основе измеренных псевдодальномерных вычислить прямоугольные координаты подвижного объекта (например, в системе ПЗ-90 или WGS-84), в приемнике ГНСС, кроме того, необходимо для каждого НКА иметь сведения об эфемеридах, альманахе, поправках к бортовой шкале времени (ШВ) и т.д., полученные с помо-

стью принятой навигационной служебной информации (СИ) [5, 6].

Таким образом, принимаемый от  $j$ -го НКА полезный ВОС-сигнал  $s_j(t)$  представляет собой нелинейную функцию от векторного дискретно-непрерывного процесса (ДНП)  $[\mathbf{X}^T(t), \Theta_j(t)]^T$ :

$$s_j(t) = s_j[t, \Theta_j(t), \mathbf{X}(t)], \quad (1)$$

где  $j$  – номер НКА,  $j = \overline{1, J}$ ,  $J$  – общее число всех одновременно видимых в данный момент времени НКА,  $T$  – символ транспонирования.

Векторный ДНП  $[\mathbf{X}^T(t), \Theta_j(t)]^T$  имеет дискретную часть в виде дискретного процесса (ДП)  $\Theta_j(t)$ , который содержит навигационную СИ от  $j$ -го НКА, и непрерывную часть, представляющую собой векторный диффузионный марковский случайный процесс  $\mathbf{X}(t)$  (или его выборку).

Компоненты векторного НП  $\mathbf{X}(t)$ , как правило, характеризуют запаздывание принимаемого радиосигнала (содержащее информацию о пространственном положении и динамике перемещения подвижного объекта), фазу радиосигнала, доплеровский сдвиг частоты и т.д. [5–7].

Дискретный параметр  $\Theta_j(t)$  в принимаемом от  $j$ -го НКА ВОС-сигнале  $s_j(t)$  (1) является манипулируемой фазой и аппроксимируется простой цепью Маркова на  $M$  положений [5, 6].

Задача синтеза оптимальных и квазиоптимальных алгоритмов приема и обработки ВОС-сигналов в [1] была решена на основе МТО методами нелинейной обработки векторных дискретно-непрерывных марковских случайных процессов [7–11].

Как известно, у навигационных ШПС, в том числе и у ВОС-сигналов, время корреляции компонент вектора НП  $\mathbf{X}(t)$  много больше длительности такта цепи Маркова, характеризующей ДП  $\Theta_j(t)$  ( $j = \overline{1, J}$ ) [4, 10, 11]. В силу этого в [1] вектор НП  $\mathbf{X}(t)$  в пределах каждого тактового интервала принимаемого радиосигнала был аппроксимирован векторным квазислучайным процессом, что позволило при разработке алгоритмов применить метод поэтапного решения уравнения Стратоновича [10, 12].

Кроме того, в [1] при разложении совместной апостериорной плотности вероятности (АПВ) векторного ДНП  $[\mathbf{X}^T(t), \Theta_j(t)]^T$  был использован метод синтеза с переприсвоением параметров вектора НП  $\mathbf{X}(t)$  [10, 11].

При получении субоптимальных алгоритмов многомерные дискриминаторы и другие модули в структуре приемников ГНСС разрабатываются применительно к своему частному пространству состояний, характеризующемуся вектором параметров радиосигнала (ПРС)  $\mathbf{Y}_j(t)$  [7, 13].

Каждый вектор ПРС  $\mathbf{Y}_j(t)$  соответствует принимаемому от  $j$ -го НКА ВОС-сигналу  $s_j(t)$  (1), который может быть записан в виде [1, 7, 10]:

$$s_j(t) = s_j[t, \Theta_j(t_k), \mathbf{Y}_j(t)], \quad j = \overline{1, J}. \quad (2)$$

Компоненты вектора ПРС  $\mathbf{Y}_j(t)$  представляют собой параметры, от которых принимаемый радиосигнал  $s_j(t)$  непосредственно зависит (псевдодальность и псевдоскорость подвижного объекта, фаза и частота сигнала  $s_j(t)$  и т.п.). Число векторов ПРС  $\mathbf{Y}_j(t)$  равно  $J$  – числу всех одновременно видимых НКА.

Взаимосвязь каждого вектора ПРС  $\mathbf{Y}_j(t)$  с вектором НП  $\mathbf{X}(t)$  определяется соотношением [1, 7, 13]:

$$\mathbf{Y}_j(t) = \mathbf{L}_j\{\mathbf{X}(t)\}, \quad (3)$$

где  $\mathbf{L}_j\{\mathbf{X}(t)\}$  – известная нелинейная векторная функция, вектор-столбец  $\mathbf{Y}_j(t)$  имеет размер  $(m \times 1)$ , вектор-столбец  $\mathbf{X}(t)$  имеет размер  $(n \times 1)$ .

При получении субоптимальных алгоритмов важную роль играют матрицы Якоби, характеризующие функциональные связи между компонентами вектора НП  $\mathbf{X}(t)$  и векторов ПРС  $\mathbf{Y}_j(t)$ , где  $j = \overline{1, J}$ .

Матрица Якоби  $\mathbf{L}'_j(t)$  определяется как частная производная вектора-столбца  $\mathbf{Y}_j(t)$  по вектору-столбцу  $\mathbf{X}(t)$  [7, 10, 13]:

$$\mathbf{L}'_j(t) \triangleq \frac{\partial \mathbf{Y}_j(t)}{\partial \mathbf{X}(t)} = \begin{bmatrix} \frac{\partial y_{j1}}{\partial x_1} & \frac{\partial y_{j1}}{\partial x_2} & \dots & \frac{\partial y_{j1}}{\partial x_n} \\ \frac{\partial y_{j2}}{\partial x_1} & \frac{\partial y_{j2}}{\partial x_2} & \dots & \frac{\partial y_{j2}}{\partial x_n} \\ \dots & \dots & \dots & \dots \\ \frac{\partial y_{jm}}{\partial x_1} & \frac{\partial y_{jm}}{\partial x_2} & \dots & \frac{\partial y_{jm}}{\partial x_n} \end{bmatrix}, \quad j = \overline{1, J}. \quad (4)$$

Видно, что каждая матрица Якоби  $\mathbf{L}'_j(t)$  имеет размер  $(m \times n)$ .

Для ряда приложений в области навигации, в том числе и применительно к ГНСС, изменения во времени элементов матриц Якоби  $\mathbf{L}'_j(t)$ , где  $j = \overline{1, J}$ , на тактовых полуинтервалах  $[t_k, t_{k+1})$ , где  $k = 0, 1, 2, \dots$ , пренебрежимо малы. В силу этого при формировании субоптимальных алгоритмов полагаем постоянными во времени матрицы Якоби на тактовых полуинтервалах [7, 10, 13]:

$$\mathbf{L}'_j(t) = \mathbf{L}'_j = \text{const}, \quad t \in [t_k, t_{k+1}), \quad k = 0, 1, 2, \dots \quad (5)$$

Как видно из (3) и (4), число матриц Якоби  $\mathbf{L}'_j(t)$  равно числу всех одновременно видимых НКА  $J$ .

Цель работы – на основе алгоритмов с переприсвоением параметров получить аналитические соотношения субоптимальных условных оценок выборки вектора НП  $\mathbf{X}(t)$  и ковариационной матрицы субоптимальных условных ошибок оценивания выборки вектора НП  $\mathbf{X}(t)$ , а также разработать соответствующую структурную схему тех модулей субоптимальной системы, которые отличны от модулей соответствующей квазиоптимальной системы.

В примерах используются sinВОС-сигналы с меандровой модуляцией типа ВОС(1,1) на несущей частоте  $f_H = 1575.42$  МГц при базовой (опорной) частоте  $f_{оп} = 1.023$  МГц, которые характерны для E10S сигналов ГНСС Galileo и для L1C сигналов ГНСС GPS применительно к спутникам GPS III [3, 4, 14, 15].

В работе всюду каждый вектор представляет собой вектор-столбец; производная от скалярной функции по вектору-столбцу понимается как вектор-строка, а выражения вида  $\left[ \frac{\partial}{\partial \mathbf{Y}_{jk}^*} \right]$  рассматриваются как операторы, воздействующие на функции, расположенные после них.

## 1. ПОСТАНОВКА ЗАДАЧИ

Полагаем, что вектор наблюдения (ВН)  $\Xi(t)$  на входе приемника ГНСС имеет вид

$$\Xi(t) = [\xi_1(t), \xi_2(t), \dots, \xi_j(t), \dots, \xi_J(t)]^T, \quad \text{где} \quad (6)$$

$$t \in [t_0, t], \quad j = \overline{1, J},$$

и характеризуется соотношением

$$\Xi(t) = \mathbf{S}(t) + \mathbf{G}_{\Xi}(t)\mathbf{N}(t), \quad t \in [t_0, t], \quad j = \overline{1, J}, \quad (7)$$

где

$$\mathbf{S}(t) = [s_1(t), s_2(t), \dots, s_j(t), \dots, s_J(t)]^T$$

– вектор принимаемых полезных ВОС-сигналов от всей совокупности  $J$  одновременно видимых в данный момент НКА группировки ГНСС;

$$\mathbf{N}(t) = [n_1(t), n_2(t), \dots, n_j(t), \dots, n_J(t)]^T$$

– вектор аддитивных независимых стандартных белых гауссовских шумов (БГШ) с известными характеристиками;  $j$  – номер НКА.

Переходная матрица  $\mathbf{G}_{\Xi}(t)$ , входящая в (7), определяет матрицу интенсивностей шумов  $\mathbf{B}_{\Xi\Xi}(t)$ :

$$\mathbf{B}_{\Xi\Xi}(t) = \mathbf{G}_{\Xi}(t)\mathbf{G}_{\Xi}^T(t), \quad (8)$$

где матрица  $\mathbf{B}_{\Xi\Xi}(t)$  – невырожденная, т.е.  $\mathbf{B}_{\Xi\Xi}^{-1}(t)$  существует.

Наблюдение на входе приемника ГНСС от  $j$ -го НКА  $\xi_j(t)$  представляет собой согласно (7) аддитивную смесь полезного ВОС-сигнала и шума:

$$\xi_j(t) = s_j(t) + n_j(t), \quad t \in [t_0, t], \quad j = \overline{1, J}, \quad (9)$$

где  $s_j(t)$  – принимаемый полезный ВОС-сигнал от  $j$ -го НКА на входе приемника ГНСС, характеризуемый (7);  $n_j(t)$  – аддитивная флуктуационная помеха в наблюдении  $\xi_j(t)$  от  $j$ -го НКА.

Флуктуационная помеха  $n_j(t)$ , аппроксимируемая стационарным БГШ, имеет статистические характеристики, определяемые согласно (7), которые записываются в виде

$$M[n_j(t)] = 0; \quad M[n_j(t)n_j(t + \tau)] = \frac{1}{2}N_{0j}\delta|\tau|,$$

где  $N_{0j}$  – интенсивность  $j$ -го БГШ,  $M[\cdot]$  – символ усреднения по множеству реализаций.

Полезные ВОС-сигналы  $\mathbf{S}(t)$  на входе приемника ГНСС достаточно детально рассмотрены в [1].

Принятый от  $j$ -го НКА полезный ВОС-сигнал  $s_j(t)$  (1) с использованием многопозиционной фазовой манипуляции (ФМ) для передачи СИ согласно [1] описывается следующим выражением:

$$s_j(t) = A_j d_j(t - \tau_{3j}) \cos[(\omega_{Hj} + \Delta\omega_{Dj} + \Delta\omega_j) \times (t - \tau_{3j}) + \Theta_j(t_k - \tau_{3j}) \frac{2\pi}{M} + \varphi_j(t)], \quad j = \overline{1, J}, \quad (10)$$

где  $A_j$  – амплитуда ВОС-сигнала, принимаемого от  $j$ -го НКА;  $d_j(t)$  – модулирующая функция (МФ) ВОС-сигнала  $s_j(t)$ , отражающая специфику навигационных ШПС и собственно ВОС-сигналов;  $\Theta_j(t_k)$  – информационный ДП, предназначенный для передачи СИ от  $j$ -го НКА;  $\varphi_j(t)$  – фаза радиосигнала;  $\omega_{Hj} = 2\pi f_{Hj}$  – круговая несущая частота радиосигнала;  $f_{Hj}$  – несущая частота ВОС-сигнала;  $\tau_{3j}$  – запаздывание принимаемого радиосигнала  $s_j(t)$  на трассе от  $j$ -го НКА до подвижного объекта;  $\Delta\omega_{Dj}$  – доплеровский сдвиг несущей частоты принимаемого радиосигнала  $s_j(t)$  на трассе от  $j$ -го НКА до приемника ГНСС;  $\Delta\omega_j$  – медленный сдвиг несущей частоты  $\omega_{Hj}$ , возникающий в канале распространения радиосигнала  $s_j(t)$  и в измерительном устройстве приемника. Начало отсчета в (10) принято равным  $t_0 = 0$ .

В формуле (10)  $M = 2^n$  представляет собой показатель многопозиционности ФМ,  $n$  – целое положительное число. Так, например, при  $M = 2$  ( $i = \overline{1, 2}$ ) имеет место двоичная ФМ, при  $M = 4$  ( $i = \overline{1, 4}$ ) – квадратурная ФМ.

Отметим, что в (10) и далее используется более общая модель ФМ (многопозиционная ФМ на  $M$  положений) по сравнению с двоичной ФМ, которая используется в навигационных сигналах современных ГНСС.

Характеризующий в (10) многопозиционную ФМ ДП  $\Theta_j(t_k) = \{\vartheta_i\}$  применительно к  $j$ -му НКА определяется соотношением

$$\vartheta_i = i - 1, \quad \Theta_j(t_k) = \{i - 1\}, \quad (11)$$

где  $i$  – номер состояния ДП  $\Theta_j(t_k)$ ,  $i = \overline{1, M}$ .

У навигационных ВОС-сигналов  $s_j(t)$  (10) МФ  $d_j(t)$  в простейшем случае является результатом перемножения двух двоичных последовательностей: псевдослучайной последовательности (ПСП) дальномерного кода  $g_j(t)$  и меандрового поднесущего колебания (МПК)  $r_j(t)$  (специфика ВОС-сигналов) [2–4]. Тогда МФ навигационного ВОС-сигнала  $d_j(t)$  записывается в виде [2–4]

$$d_j(t - t_0) = g_j(t - t_0) r_j(t - t_0), \quad (12)$$

где  $g_j(t)$  – ПСП дальномерного кода, характеризующая навигационный ШПС применительно к  $j$ -му НКА, и  $r_j(t)$  – МПК, отражающее специфику собственно ВОС-сигнала  $s_j(t)$ . Последовательности  $g_j(t)$  и  $r_j(t)$  состоят из чередующихся единичных видеоимпульсов соответствующей длительности, меняющих свою полярность по определенным законам согласно кодовым коэффициентам, значения которых на каждом такте равны  $+1$  или  $-1$ .

Вектор принимаемых полезных ВОС-сигналов  $\mathbf{S}(t)$  (7) от всей совокупности  $J$  одновременно видимых в данный момент НКА группировки ГНСС может быть представлен в виде

$$\mathbf{S}(t) = \mathbf{S}[t, \Theta_k, \mathbf{X}(t)], \quad (13)$$

где  $\Theta_k = [\Theta_{1k}, \Theta_{2k}, \dots, \Theta_{jk}, \dots, \Theta_{Jk}]^T$  – вектор ДП применительно ко всей совокупности  $J$  одновременно видимых НКА;  $\Theta_{jk} = \Theta_j(t_k)$  – ДП принимаемого ВОС-сигнала  $s_j(t)$  (10) от  $j$ -го НКА.

Свойства и характеристики вектора НП  $\mathbf{X}(t)$ , а также его взаимосвязь с векторами ПРС  $\mathbf{Y}_j(t)$ , где  $j = \overline{1, J}$ , применительно к решаемой задаче изложены в [1].

Для характеристики вектора НП  $\mathbf{X}(t)$  в [1] использована типовая математическая модель (ММ) динамики объектов навигации (например, ЛА) на основе прямоугольной гринвичской системы координат, которая описывает положение подвижного объекта и его движение в пространстве применительно к небольшим отрезкам времени [1, 7].

Согласно принятой ММ динамики ЛА имеем, что вектор НП  $\mathbf{X}(t)$  представляет собой многокомпонентный диффузионный гауссовский марковский процесс, который в общем виде может быть описан векторно-матричным линейным стохастическим дифференциальным уравнением [1, 7]:

$$\frac{d}{dt} \mathbf{X}(t) = \mathbf{A}_X(t) \mathbf{X}(t) + \mathbf{C}_X(t) \mathbf{U}_{\text{упр}}(t) + \mathbf{G}_X(t) \mathbf{N}_X(t), \quad (14)$$

$$\mathbf{X}(t_0) = \mathbf{X}_0,$$

где  $\mathbf{X}(t) = [x_1(t), x_2(t), \dots, x_n(t)]^T$  – вектор-столбец НП размером  $(n \times 1)$ ;  $n$  – число компонент вектора НП  $\mathbf{X}(t)$ ;  $\mathbf{A}_X(t)$  – матрица состояния размером  $(n \times n)$ ;  $\mathbf{U}_{\text{упр}}(t)$  – детерминированный вектор управления;  $\mathbf{C}_X(t)$  – матрица управления;  $\mathbf{N}_X(t)$  – вектор стандартных БГШ;  $\mathbf{G}_X(t)$  – матрица интенсивностей шумов;  $\mathbf{B}_{XX}(t) = \mathbf{G}_X(t) \mathbf{G}_X^T(t)$  – матрица коэффициентов диффузии вектора НП  $\mathbf{X}(t)$ .

Конкретный вид матриц применительно к (14) приведен в [1], где также содержится описание компонент нелинейной векторной функции  $\mathbf{L}_j\{\mathbf{X}(t)\}$  (3).

У навигационного ВОС-сигнала, излучаемого  $j$ -м НКА, возможные моменты перехода ДП  $\Theta_j(t_k)$  из одного состояния в другое являются дискретными и определяются выражением  $t_k = t_0 + kT$ , где длительность такта  $T = \text{const}$ .

Длительность такта  $T = t_{k+1} - t_k$  ДП  $\Theta_j(t_k)$  для ГНСС типа ГЛОНАСС, GPS и Galileo равна длительности информационной посылки СИ:  $T = \tau_{\text{СИ}} = 20$  мс [5, 6].

На входе приемника ГНСС у принимаемого от  $j$ -го НКА полезного ВОС-сигнала  $s_j(t)$  (10) возможные моменты времени перехода ДП  $\Theta_j(t_k - \tau_{3j})$  из одного состояния в другое являются случайными, поскольку они зависят от случайного запаздывания  $\tau_{3j}$  принимаемого сигнала.

Напомним, что далее применительно к ДП  $\Theta_j(t_k)$  в принимаемом от  $j$ -го НКА ВОС-сигнале  $s_j(t)$  (10) индекс  $j$  там, где это не затрудняет понимания, не приводим.

На всех тактовых полуинтервалах времени  $[t_k, t_{k+1})$ , где  $k = 0, 1, 2, \dots$ , ДП  $\Theta(t_k)$  остается постоянным и характеризуется априорным уравнением вида

$$\frac{d\Theta(t)}{dt} = 0, \quad \text{где } t \in [t_k, t_{k+1}), k = 0, 1, 2, \dots \quad (15)$$

Вектор вероятностей начального состояния ДП  $\Theta(t_k)$  и матрица одношаговых вероятностей перехода соответственно имеют вид [1, 10, 11]:

$$\begin{aligned} \mathbf{P}_{\Theta}(t_0) &= \{P_{\vartheta_i}(t_0)\}, \text{ где } i = \overline{1, M}; \\ \boldsymbol{\pi}(t_k) &= [\pi_{il}(t_k)], \text{ где} \\ \pi_{il}(t_k) &= P\{\Theta(t_k + 0) = \vartheta_l | \Theta(t_k - 0) = \vartheta_i\}, \\ & i, l = \overline{1, M}. \end{aligned} \quad (16)$$

В начале  $k$ -го такта  $[t_k, t_{k+1})$  вероятности состояний ДП  $\Theta(t_k)$

$$P_{\vartheta_i}(t_k + 0) \triangleq P(t_k + 0, \Theta(t_k + 0) = \vartheta_i)$$

определяются формулой [1, 10, 11]:

$$P_{\vartheta_i}(t_k + 0) = \sum_{m=1}^M \pi_{mi}(t_k) P_{\vartheta_m}(t_k - 0), \quad i = \overline{1, M}, \quad (17)$$

где  $P_{\vartheta_m}(t_k - 0)$  – вероятность состояния ДП  $\Theta(t_k)$  в конце  $(k - 1)$ -го такта  $[t_{k-1}, t_k)$ .

Для повышения конструктивности решения задачи синтеза в [1] при использовании методов МТО было применено двухэтапное решение уравнения Стратоновича [10, 12].

Применяя метод двухэтапного решения уравнения Стратоновича, удается применительно к  $j$ -му НКА обоснованно упростить ММ оцениваемого вектора состояния (ВС), представляющего собой ДНП  $[\mathbf{X}^T(t), \Theta_j(t)]^T$ , и тем самым улучшить конструктивность решения задачи синтеза [1, 12, 13].

Суть такого упрощения ММ оцениваемого ВС  $[\mathbf{X}^T(t), \Theta_j(t)]^T$  заключается в возможности описания на тактовых полуинтервалах времени  $[t_k, t_{k+1})$ , где  $t_k = t_0 + k \tau_{\text{СИ}}$  ( $k = 0, 1, 2, \dots$ ), компонент вектора  $\mathbf{X}(t)$  квазислучайными процессами. Применительно к ГНСС  $\tau_{\text{СИ}} = 20$  мс [5, 6]. Обработка ВН  $\Xi(t)$  (6–8) при этом выполняется в два этапа.

На первом этапе применительно к каждому  $k$ -му такту  $[t_k, t_{k+1})$ , где  $k = 0, 1, 2, \dots$ , обрабатывается только вектор НП  $\mathbf{X}(t)$  (14) оцениваемого ВС  $[\mathbf{X}^T(t), \Theta_j(t)]^T$ , поскольку ДП  $\Theta_j(t)$  при этом остается постоянным.

В таком случае для первого этапа обработки удается найти точное решение уравнения Стратоновича как решение нелинейной задачи оценки параметров в силу аппроксимации ММ вектора НП  $\mathbf{X}(t)$  (14) векторным квазислучайным процессом.

На втором этапе обработка осуществляется в дискретном времени в точках  $t = t_k + 0$ , где  $k = 0, 1, 2, \dots$ , т.е. в точках возможной смены состояния ДП  $\Theta_j(t)$  (с учетом запаздывания  $\tau_{3j}$  принимаемого ВОС-сигнала  $s_j(t)$  (10) на трассе).

При этом оценки компонент вектора НП  $\mathbf{X}(t)$ , полученные на первом этапе обработки, используются в качестве начальных значений для второго этапа обработки ВС  $[\mathbf{X}^T(t), \Theta_j(t)]^T$ , где  $j = \overline{1, J}$ .

В дискретные моменты времени  $t_k$ , где  $k = 0, 1, 2, \dots$ , вектор НП  $\mathbf{X}_k = \mathbf{X}(t_k)$ , характеризуемый (14), описывается эквивалентным линейным векторно-матричным стохастическим разностным уравнением

$$\begin{aligned} \mathbf{X}_k &= \Phi_{XX}(t_k, t_{k-1}) \mathbf{X}_{k-1} + \\ &+ \Psi_{XU}(t_k, t_{k-1}) U_{\text{упр}k} + \Gamma_X(t_k, t_{k-1}) \mathbf{N}_{Xk}, \end{aligned} \quad (18)$$

где  $\mathbf{N}_{Xk} = \mathbf{N}_X(t_k)$  – вектор формирующих стандартных дискретных БГШ,  $\Phi_{XX}$ ,  $\Psi_{XU}$  и  $\Gamma_X$  – известные матрицы,  $U_{\text{упр}k}$  – дискретный вектор управления.

Аналогично [1] полагаем, что длительность тактового интервала (информационной посылки СИ)  $T = t_{k+1} - t_k$  ДП  $\Theta(t_k)$  ( $T = \tau_{\text{СИ}} = 20$  мс) достаточно мала, чтобы в (1) вектор НП  $\mathbf{X}(t)$  на каждом полуинтервале  $[t_k, t_{k+1})$ ,  $k = 0, 1, 2, \dots$ , можно было с требуемой для оценивания степенью точности аппроксимировать векторным квазислучайным процессом [1, 10, 12]:

$$\begin{aligned} \mathbf{X}(t) &= \mathbf{f}(t, \mathbf{X}_k), \quad t \in [t_k, t_{k+1}), k = 0, 1, 2, \dots, \\ \mathbf{X}_0 &= \mathbf{X}(t_0), \end{aligned} \quad (19)$$

где  $\mathbf{f}(\cdot)$  – детерминированная векторная функция;  $\mathbf{X}_k = \mathbf{X}(t_k) = \mathbf{f}(t_k, \mathbf{X}_k)$  – начальное значение на  $k$ -м такте.

Функция  $\mathbf{f}(t, \mathbf{X}_k)$  равна [1, 10, 12]

$$\mathbf{f}(t, \mathbf{X}_k) = \Phi_{XX}(t, t_k) \mathbf{X}_k, \quad t \in [t_k, t_{k+1}), \quad (20)$$

где  $\Phi_{XX}(t, t_k)$  – переходная матрица состояния (18).

В соответствии с (19) принимаемый от  $j$ -го НКА полезный ВОС-сигнал  $s_j(t)$  (1) в пределах одного тактового полуинтервала  $[t_k, t_{k+1})$  принимает вид

$$s_j(t) = s_j [t, \Theta_{jk}, \mathbf{f}(t_k, \mathbf{X}_k)], \quad (21)$$

где  $\Theta_{jk} = \Theta_j(t_k)$ ,  $t \in [t_k, t_{k+1})$ ,  $k = 0, 1, 2, \dots$ ,  $j = \overline{1, J}$ .

## 2. ОПТИМАЛЬНЫЕ И КВАЗИОПТИМАЛЬНЫЕ ОЦЕНКИ НА ОСНОВЕ АЛГОРИТМОВ С ПЕРЕПРИСВОЕНИЕМ ПАРАМЕТРОВ ВЕКТОРНОГО ДИСКРЕТНО-НЕПРЕРЫВНОГО ПРОЦЕССА $[\mathbf{X}^T(t), \Theta_j(t)]^T$

Задача синтеза, решенная в [1], заключается в том, чтобы на  $k$ -м такте  $[t_k, t_{k+1})$ , где  $k = 0, 1, 2, \dots$ , имея априорные сведения (11), (18) и (17) и распо-

лагая ВН (6) и (7) об оцениваемом ВС  $[\mathbf{X}^T(t), \Theta_j(t)]^T$ , на основе метода с переприсвоением параметров вектора НП получить оптимальную оценку  $\hat{\mathbf{X}}_{k+1}$  выборки вектора НП  $\mathbf{X}(t)$  и оптимальные оценки  $\hat{\Theta}_j(t_{k+1} - 0)$  компонент вектора ДП  $\Theta_k = [\Theta_{1k}, \Theta_{2k}, \dots, \Theta_{jk}, \dots, \Theta_{Jk}]^T$  применительно ко всей совокупности  $J$  одновременно видимых НКА.

Полученная в [1] оптимальная оценка  $\hat{\mathbf{X}}_{k+1}$  выборки вектора НП  $\mathbf{X}(t)$  удовлетворяет критерию минимума апостериорного риска при квадратичной функции потерь.

Известно, что оптимальной оценкой  $\hat{\mathbf{X}}_{k+1}$ , удовлетворяющей этому критерию, является апостериорное математическое ожидание  $M_{ps}[\mathbf{X}_{k+1}]$  выборки вектора НП  $\mathbf{X}(t)$  [8–11]:

$$\hat{\mathbf{X}}_{k+1} = M_{ps}[\mathbf{X}_{k+1}] = \int_{\mathbf{X}_{k+1}} \mathbf{X}_{k+1} p_{ps}(t, \mathbf{X}_{k+1}) d\mathbf{X}_{k+1}, \quad (22)$$

где  $\hat{\mathbf{X}}(t)$  – оптимальная оценка вектора НП  $\mathbf{X}(t)$ ;

$$p_{ps}(t, \mathbf{X}_{k+1}) \triangleq p(t, \mathbf{X}_{k+1} | \Xi_{t_0}^{t_{k+1}})$$

– АПВ выборки вектора НП  $\mathbf{X}_{k+1}$ ;

$$\Xi_{t_0}^{t_{k+1}} = \{\Xi(\tau) : \tau \in [t_0, t_{k+1}]\}$$

– реализация ВН  $\Xi(t)$  на отрезке  $[t_0, t_{k+1}]$  применительно к входу приемника ГНСС.

Если АПВ  $p_{ps}(t, \mathbf{X}_{k+1})$  является унимодальной и гауссовской, то оптимальная оценка  $\hat{\mathbf{X}}(t)$  согласно критерию (22) и критерию максимума АПВ совпадают [8–11], что и полагаем выполненным в дальнейшем.

Оптимальная оценка  $\hat{\Theta}_j(t_{k+1} - 0)$  ДП  $\Theta_j(t)$ , где  $j = \overline{1, J}$ , применительно к  $j$ -му НКА в соответствии с [1] удовлетворяет критерию минимума апостериорного риска при простой функции потерь, что эквивалентно критерию максимума апостериорной вероятности (АВ) ДП  $\Theta_j(t)$  [8–11]:

$$\hat{\Theta}_j(t_{k+1} - 0) = \vartheta_j : \max_{\vartheta_j \leq \vartheta_j \leq \vartheta_j^M} \{P_{ips}(t_{k+1} - 0)\}, \quad (23)$$

где  $P_{ips}(t_{k+1} - 0)$  – АВ состояния ДП  $\Theta_j(t)$  в момент времени  $t = t_{k+1} - 0$ .

Задача синтеза оптимальных и квазиоптимальных алгоритмов приема и обработки ВОС-сигналов была решена в [1] на базе МТО методами нелинейной обработки векторных ДНП [7–12].

Реализация полученных в [1] оптимальных алгоритмов практически затруднена, так как требует знания АПВ вектора НП  $\mathbf{X}(t)$ . В таких случаях, как обычно, применен метод гауссовской аппроксимации, при котором истинная АПВ вектора НП

$\mathbf{X}(t)$  аппроксимируется законом Гаусса, и формируются квазиоптимальные алгоритмы [8–11].

Особенностью применения метода гауссовской аппроксимации применительно к алгоритмам с переприсвоением параметров вектора НП в [1] является то, что гауссовским законом аппроксимируются условные по ДП  $\Theta(t)$  АПВ

$$p_{ps}(t_{k+1} + 0, \mathbf{X}_{k+1} | j, i).$$

При формировании оптимальной оценки ДП  $\hat{\Theta}_j(t_{k+1} - 0)$  на  $k$ -м такте все АВ  $P_{ips}(t_{k+1} - 0)$ , где  $i = \overline{1, M}$ , вычисляются в конце первого этапа обработки, т.е. в момент времени  $t = t_{k+1} - 0$ , где  $k = 0, 1, 2, \dots$ . Поскольку в течение всего полуинтервала  $[t_k, t_{k+1})$  ДП  $\Theta_j(t)$  не меняет своего значения, то к окончанию полуинтервала точность оценивания АВ  $P_{ips}(t_{k+1} - 0)$  ДП  $\Theta_j(t)$  максимальна.

Соотношение, характеризующее АВ  $P_{ips}(t)$  на первом этапе обработки, имеет следующий вид [1]:

$$P_{ips}(t) = \frac{P_{ips}(t_k + 0) \exp\{\Phi_{X_{ki}}(t)\}}{\sum_{l=1}^M P_{ips}(t_k + 0) \exp\{\Phi_{X_{kl}}(t)\}}, \quad (24)$$

где

$$\Phi_{X_{ki}}(t) \triangleq \int_{t_k}^t M_{psX_k} \{F_{\Sigma_i}(\tau, \mathbf{X}_k)\} d\tau \quad (25)$$

– усредненный по  $\mathbf{X}_k$  парциальный ( $i$ -й) логарифм функционала правдоподобия (ЛФП) вектора НП  $\mathbf{X}_k$ .

Входящая в (25) производная по времени от ЛФП  $F_{\Sigma_i}(\tau, \mathbf{X}_k)$  применительно к совокупности принимаемых ВОС-сигналов  $\mathbf{S}(t, \Theta_k, \mathbf{X}_k)$  от всех одновременно видимых  $J$  НКА определяется по формуле [1]

$$\begin{aligned} F_{\Sigma_i}(t, \mathbf{X}_k) &\triangleq F_{\Sigma_i}[t, \Theta_k = \{\vartheta_i\}, \mathbf{f}(t, \mathbf{X}_k)] = \\ &= \mathbf{S}^T(t, \Theta_k = \{\vartheta_i\}, \mathbf{X}_k) \times \\ &\times \mathbf{B}_{\Xi\Xi}^{-1} \left[ \Xi(t) - \frac{1}{2} \mathbf{S}(t, \Theta_k = \{\vartheta_i\}, \mathbf{X}_k) \right], \end{aligned} \quad (26)$$

где  $\Theta_k = [\Theta_{1k}, \Theta_{2k}, \dots, \Theta_{jk}, \dots, \Theta_{Jk}]^T$  – вектор ДП для всей совокупности  $J$  одновременно видимых НКА.

Усредненное по  $\mathbf{X}_k$  значение производной по времени от ЛФП  $F_{\Sigma_i}(\tau, \mathbf{X}_k)$  характеризуется формулой

$$\begin{aligned} &M_{psX_k} \{F_{\Sigma_i}(t, \mathbf{X}_k)\} \triangleq \\ &\triangleq \int_{\mathbf{X}_k} F_{\Sigma_i}(t, \mathbf{X}_k) p_{ps1}(t, \mathbf{X}_k | j, i) d\mathbf{X}_k. \end{aligned} \quad (27)$$

Начальное условие для (24)  $P_{ips}(t_k + 0)$  определяется на втором этапе обработки на предыдущем  $(k - 1)$ -м такте.

Таким образом, на основе критерия (23) в соответствии с (24) на  $k$ -м такте в конце первого этапа обработки, т.е. в момент времени  $t = t_{k+1} - 0$  ( $k = 0, 1, 2, \dots$ ), формируются оптимальные оценки ДП  $\hat{\Theta}_j(t_{k+1} - 0)$ , где  $j = \overline{1, J}$ .

### 3. СУБОПТИМАЛЬНЫЕ ОЦЕНКИ НА ОСНОВЕ АЛГОРИТМОВ С ПЕРЕПРИСВОЕНИЕМ ПАРАМЕТРОВ ВЕКТОРНОГО ДИСКРЕТНО-НЕПРЕРЫВНОГО ПРОЦЕССА $[\mathbf{X}^T(t), \Theta_j(t)]^T$

Как правило, на синтезированные квазиоптимальные алгоритмы при их реализации с учетом области применения и круга решаемых задач накладываются дополнительные ограничения и приближения.

В результате используются субоптимальные (более простые) алгоритмы.

В задачах синтеза, решаемых на основе МТО, основное упрощение субоптимальных алгоритмов (по сравнению с квазиоптимальными алгоритмами) состоит в том, что в таких алгоритмах применительно к векторным ДНП матрицы Якоби  $\mathbf{L}'_j(t)$  (4) на тактовых полуинтервалах  $[t_k, t_{k+1})$  принимаются постоянными во времени:  $\mathbf{L}'_j(t) = \mathbf{L}'_j = \text{const}$  (5) [16]. По этой причине в подобных задачах субоптимальные алгоритмы отличаются от соответствующих квазиоптимальных лишь на первом этапе обработки, где и фигурируют матрицы Якоби.

На втором этапе в случае субоптимальных алгоритмов обработка сигналов на каждом такте производится по тем же алгоритмам, что и при квазиоптимальных алгоритмах [1, 13].

При формировании субоптимальных алгоритмов в качестве исходных в соответствии с [1] используем соотношения в конце первого этапа обработки на  $k$ -м такте, т.е. в момент времени  $t = t_{k+1} - 0$ , для квазиоптимальной условной оценки

$$\begin{aligned} \mathbf{X}_{j,i}^*(t_{k+1} - 0 | t_{k+1} - 0) &\triangleq \mathbf{X}^*(t_{k+1} - 0 | t_{k+1} - 0; \\ &\Theta_{jk} = \vartheta_i; j - \text{номер НКА}) = \\ &= \int_{\mathbf{X}_k} \mathbf{X}_k p_{ps1}^*(t_{k+1} - 0, \mathbf{X}_k | j, i) d\mathbf{X}_k \end{aligned}$$

и матрицы ковариаций квазиоптимальных условных ошибок оценивания

$$\begin{aligned} \mathbf{K}_{j,i}^*(t_{k+1} - 0 | t_{k+1} - 0) &\triangleq \mathbf{K}^*(t_{k+1} - 0 | t_{k+1} - 0; \\ &\Theta_{jk} = \vartheta_i; j - \text{номер НКА}) = \\ &= \int_{\mathbf{X}_k} \left[ \mathbf{X}_k - \mathbf{X}_{j,i}^*(t_{k+1} - 0 | t_{k+1} - 0) \right] \times \\ &\times \left[ \mathbf{X}_k - \mathbf{X}_{j,i}^*(t_{k+1} - 0 | t_{k+1} - 0) \right]^T \times \\ &\times p_{ps1}^*(t_{k+1} - 0, \mathbf{X}_k | j, i) d\mathbf{X}_k, \end{aligned}$$

где

$$\begin{aligned} p_{ps1}^*(t_{k+1} - 0, \mathbf{X}_k | j, i) &\triangleq \\ &\triangleq p_1^* \left( t_{k+1} - 0, \mathbf{X}_k | \mathbf{\Xi}_{t_0}^{t_{k+1}-0}; \Theta_{jk} = \vartheta_i; j - \text{номер НКА} \right) \end{aligned}$$

– квазиоптимальная условная АПВ в конце первого этапа обработки на  $k$ -м такте, т.е. в момент времени  $t = t_{k+1} - 0$ ;  $\mathbf{X}_k^*$  – квазиоптимальная оценка вектора НП  $\mathbf{X}_k$ ;  $j = \overline{1, J}$ ,  $i = \overline{1, M}$ .

Квазиоптимальная условная оценка (1-й момент условной АПВ  $p_{ps1}^*(t_{k+1} - 0, \mathbf{X}_k | j, i)$ ) в конце первого этапа обработки на  $k$ -м такте, т.е. в момент времени  $t = t_{k+1} - 0$ , характеризуется следующим рекуррентным соотношением [1]:

$$\begin{aligned} \mathbf{X}_{j,i}^*(t_{k+1} - 0 | t_{k+1} - 0) &= \mathbf{X}_0 + \\ &+ \mathbf{K}_{j,i}^*(t_{k+1} - 0 | t_{k+1} - 0) \Phi'_{\Sigma_i}(t_{k+1} - 0, \mathbf{X}_0), \end{aligned} \tag{28}$$

где

$$\begin{aligned} \Phi'_{\Sigma_i}(t_{k+1} - 0, \mathbf{X}_0) &\triangleq \left[ \frac{\partial \Phi_{\Sigma_i}(t_{k+1} - 0, \mathbf{X}_0)}{\partial \mathbf{X}_0} \right]^T = \\ &= \int_{t_k}^{t_{k+1}-0} \left[ \frac{\partial F_{\Sigma_i}(\tau, \mathbf{X}_0)}{\partial \mathbf{X}_0} \right]^T d\tau \end{aligned} \tag{29}$$

– первая производная по вектору  $\mathbf{X}_0$  парциально-го ( $i$ -го) ЛФП  $\Phi_{\Sigma_i}(t, \mathbf{X}_0)$ , представляющая собой вектор-столбец размером  $(n \times 1)$ .

В формулах (28), (29) и далее для краткости используется обозначение:

$$\begin{aligned} \mathbf{X}_0 &\triangleq \mathbf{X}_{j,i}^*(t_k + 0 | t_k + 0) = \\ &= \mathbf{X}^*(t_k + 0 | \Theta_{jk} = \vartheta_i; j - \text{номер НКА}) = \\ &= M_{psj,i} \{ \mathbf{X}_k \} = \int_{\mathbf{X}_k} \mathbf{X}_k p_{ps}^*(t_k + 0, \mathbf{X}_k | j, i) d\mathbf{X}_k \end{aligned}$$

– квазиоптимальная условная оценка выборки вектора НП  $\mathbf{X}_k$  в конце второго этапа обработки на предыдущем  $(k - 1)$ -м такте, т.е. в момент вре-

мени  $t = t_k + 0$ , при приеме ВОС-сигнала  $s_j(t)$  (10) от  $j$ -го НКА;  $k = 0, 1, 2, \dots, j = \overline{1, J}, i = \overline{1, M}$ .

Входящая в (29) производная по времени от парциального ЛФП (т.е. ЛФП, соответствующего значению ДП  $\theta_k = \vartheta_i$ )  $F_{\Sigma_i}(\tau, \mathbf{X}_k)$  применительно к совокупности принимаемых ВОС-сигналов  $\mathbf{S}(t, \Theta_k, \mathbf{X}_k)$  от всех одновременно видимых  $J$  НКА характеризуется формулой (26). Сам парциальный ЛФП  $\Phi_{\Sigma_i}(t, \mathbf{X}_k)$  определяется как

$$\Phi_{\Sigma_i}(t, \mathbf{X}_k) = \int_{t_k}^t F_{\Sigma_i}(\tau, \mathbf{X}_k) d\tau. \quad (30)$$

Матрица ковариаций квазиоптимальных условных ошибок оценивания (2-й момент условной АПВ  $p_{ps1}^*(t_{k+1} - 0, \mathbf{X}_k | j, i)$ ) в конце первого этапа обработки на  $k$ -м такте, т.е. в момент времени  $t = t_{k+1} - 0$ , характеризуется следующим рекуррентным соотношением [1]:

$$\mathbf{K}_{j,i}^*(t_{k+1} - 0 | t_{k+1} - 0) = \left[ [\mathbf{K}_0]^{-1} - \Phi_{\Sigma_i}''(t_{k+1} - 0, \mathbf{X}_0) \right]^{-1}, \quad (31)$$

где

$$\Phi_{\Sigma_i}''(t, \mathbf{X}_0) \triangleq \frac{\partial^2 \Phi_{\Sigma_i}(t, \mathbf{X}_0)}{(\partial \mathbf{X}_0)^2} = \left[ \frac{\partial}{\partial \mathbf{X}_0} \right]^T \frac{\partial \Phi_{\Sigma_i}(t, \mathbf{X}_0)}{\partial \mathbf{X}_0} = \int_{t_k}^t \left[ \frac{\partial}{\partial \mathbf{X}_0} \right]^T \frac{\partial F_{\Sigma_i}(\tau, \mathbf{X}_0)}{\partial \mathbf{X}_0} d\tau = \left[ \frac{\partial}{\partial \mathbf{X}_0} \right]^T \int_{t_k}^t \frac{\partial F_{\Sigma_i}(\tau, \mathbf{X}_0)}{\partial \mathbf{X}_0} d\tau \quad (32)$$

– вторая производная по вектору  $\mathbf{X}_0$  парциального ( $i$ -го) ЛФП  $\Phi_{\Sigma_i}(t, \mathbf{X}_0)$ , представляющая собой матрицу размером  $(n \times n)$ ;

$$\begin{aligned} \mathbf{K}_0 &\triangleq \mathbf{K}_{j,i}^*(t_k + 0 | t_k + 0) = \\ &= \mathbf{K}^*(t_k + 0 | \Theta_{jk} = \vartheta_i; j - \text{номер НКА}) = \\ &= M_{psj,i} \left\{ [\mathbf{X}_k - \mathbf{X}_0][\mathbf{X}_k - \mathbf{X}_0]^T \right\} = \\ &= \int_{\mathbf{X}_k} [\mathbf{X}_k - \mathbf{X}_0][\mathbf{X}_k - \mathbf{X}_0]^T p_{ps}^*(t_k + 0, \mathbf{X}_k | j, i) d\mathbf{X}_k \end{aligned} \quad (33)$$

– матрица ковариаций квазиоптимальных условных ошибок оценивания  $\left[ \mathbf{X}_k - \mathbf{X}_{j,i}^*(t_k + 0 | t_k + 0) \right]$  в конце второго этапа обработки на предыдущем  $(k - 1)$ -м такте, т.е. в момент времени  $t = t_k + 0$ , при приеме ВОС-сигнала  $s_j(t)$  (10) от  $j$ -го НКА; функция  $F_{\Sigma_i}(\tau, \mathbf{X}_k^*)$  в (32) определяется согласно (26);  $k = 0, 1, 2, \dots, j = \overline{1, J}, i = \overline{1, M}$ .

Отметим, что в (32) и далее производная от скалярной функции по вектору-столбцу всюду,

как обычно, понимается как вектор-строка, а выражение  $\left( \partial / \partial \mathbf{X}_k^* \right)^T$  представляет собой дифференциальный оператор, действующий на функцию, расположенную от него справа.

Соответствующие соотношения для квазиоптимальной безусловной оценки  $\mathbf{X}^*(t_{k+1} - 0 | t_{k+1} - 0)$  и матрицы ковариаций квазиоптимальных безусловных ошибок оценивания  $\mathbf{K}^*(t_{k+1} - 0 | t_{k+1} - 0)$  в конце первого этапа обработки на  $k$ -м такте, т.е. в момент времени  $t = t_{k+1} - 0$ , применительно к (28) и (31) имеют вид [1]

$$\begin{aligned} \mathbf{X}^*(t_{k+1} - 0 | t_{k+1} - 0) &= \\ &= \sum_{i=1}^M P_{ips}(t_{k+1} - 0) \mathbf{X}_{j,i}^*(t_{k+1} - 0 | t_{k+1} - 0); \end{aligned} \quad (34)$$

$$\begin{aligned} \mathbf{K}^*(t_{k+1} - 0 | t_{k+1} - 0) &= \sum_{i=1}^M P_{ips}(t_{k+1} - 0) \times \\ &\times \left\{ \mathbf{K}_{j,i}^*(t_{k+1} - 0 | t_{k+1} - 0) + \right. \\ &+ \left. \left[ \mathbf{X}_{j,i}^*(t_{k+1} - 0 | t_{k+1} - 0) - \mathbf{X}^*(t_{k+1} - 0 | t_{k+1} - 0) \right] \times \right. \\ &\times \left. \left. \left[ \mathbf{X}_{j,i}^*(t_{k+1} - 0 | t_{k+1} - 0) - \mathbf{X}^*(t_{k+1} - 0 | t_{k+1} - 0) \right]^T \right\}, \end{aligned} \quad (35)$$

где  $P_{ips}(t_{k+1} - 0)$  – АВ состояния ДП  $\Theta_{jk}$  в конце первого этапа обработки на  $k$ -м такте, т.е. в момент времени  $t = t_{k+1} - 0$ ;  $k = 0, 1, 2, \dots, i = \overline{1, M}, j = \overline{1, J}$ .

Являющиеся исходными для разработки субоптимальных алгоритмов соотношения, которые характеризуют квазиоптимальную условную оценку  $\mathbf{X}_{j,i}^*(t_{k+1} - 0 | t_{k+1} - 0)$  и матрицу ковариаций квазиоптимальных условных ошибок оценивания  $\mathbf{K}_{j,i}^*(t_{k+1} - 0 | t_{k+1} - 0)$ , соответственно имеют вид (28) и (31).

При переходе от квазиоптимальных алгоритмов к субоптимальным, как следует из рассмотрения (28) и (31), преобразованиям и упрощениям подвергаются первая  $\Phi_{\Sigma_i}'(t_{k+1} - 0, \mathbf{X}_0)$  (29) и вторая  $\Phi_{\Sigma_i}''(t_{k+1} - 0, \mathbf{X}_0)$  (32) производные по вектору  $\mathbf{X}_0$  парциального ( $i$ -го) ЛФП  $\Phi_{\Sigma_i}(t, \mathbf{X}_0)$ , что обусловлено взаимосвязями векторов ПРС  $\mathbf{Y}_j(t)$  и вектора НП  $\mathbf{X}(t)$ . В выражениях для производных при этом следует переходить к их зависимостям от векторов ПРС  $\mathbf{Y}_j(t)$ , а не от вектора НП  $\mathbf{X}(t)$ .

Первая производная  $\Phi_{\Sigma_i}'(t_{k+1} - 0, \mathbf{X}_0)$  (29) и вторая производная  $\Phi_{\Sigma_i}''(t_{k+1} - 0, \mathbf{X}_0)$  (32) получены применительно к совокупности принимаемых



ВОС-сигналов  $\mathbf{S}[t, \Theta_k, \mathbf{X}_k]$  (7), (13) от всех одновременно видимых  $J$  НКА.

Производная по времени парциального ( $i$ -го) ЛФП  $F_{\Sigma_i}(t, \mathbf{X}_k)$  применительно к совокупности принимаемых ВОС-сигналов  $\mathbf{S}(t, \Theta_k, \mathbf{X}_k)$  (7) от всех одновременно видимых  $J$  НКА характеризуется выражением (26).

При рассмотрении зависимостей производных  $\dot{\Phi}_{\Sigma_i}(t, \mathbf{X}_k)$  и  $\ddot{\Phi}_{\Sigma_i}(t, \mathbf{X}_k)$  от векторов ПРС  $\mathbf{Y}_j(t)$  (а не от вектора НП  $\mathbf{X}(t)$ ) следует использовать производную по времени ЛФП  $F_j(t, \Theta_j(t_k), \mathbf{Y}_{jk})$  и производную по времени парциального ( $i$ -го) ЛФП  $F_{ji}(t, \mathbf{Y}_{jk}) \triangleq F_j(t, \Theta_j(t_k)) = \{\vartheta_i\}, \mathbf{Y}_{jk}$  для какого-либо одного ВОС-сигнала  $s_j(t) = s_j[t, \Theta_j(t_k), \mathbf{Y}_j(t)]$  (2) и (10), принимаемого от  $j$ -го НКА, а не от совокупности сигналов  $\mathbf{S}(t, \Theta_k, \mathbf{X}_k)$ , принимаемых от всех видимых  $J$  НКА.

Производная по времени ЛФП  $F_j(t, \Theta_j(t_k), \mathbf{Y}_{jk})$  применительно к ВОС-сигналу  $s_j(t) = s_j[t, \Theta_j(t_k), \mathbf{Y}_j(t)]$ , принимаемому от  $j$ -го НКА, характеризуется следующим выражением [13]:

$$F_j(t, \mathbf{Y}_{jk}) = \frac{2}{N_{0j}} \left[ \xi_j(t) s_j(t, \mathbf{Y}_{jk}) - \frac{1}{2} s_j^2(t, \mathbf{Y}_{jk}) \right]. \quad (36)$$

Производная по времени парциального ( $i$ -го) ЛФП  $F_{ji}(t, \mathbf{Y}_{jk})$  применительно к ВОС-сигналу

$$s_{ji}(t) = s_j[t, \Theta_j(t_k) = \{\vartheta_i\}, \mathbf{Y}_j(t)],$$

принимаемому от  $j$ -го НКА, записывается в виде [13]

$$F_{ji}(t, \mathbf{Y}_{jk}) = \frac{2}{N_{0j}} \left[ \xi_j(t) s_{ji}(t, \mathbf{Y}_{jk}) - \frac{1}{2} s_{ji}^2(t, \mathbf{Y}_{jk}) \right], \quad (37)$$

$$i = \overline{1, M}.$$

Формула связи между производной по времени ЛФП  $F_{\Sigma}(t, \Theta_k, \mathbf{X}_k)$  для совокупности принимаемых ВОС-сигналов  $\mathbf{S}(t, \Theta_k, \mathbf{X}_k)$  от всех одновременно видимых  $J$  НКА и производной по времени ЛФП  $F_j(t, \Theta_j(t_k), \mathbf{Y}_{jk})$  для ВОС-сигнала  $s_j[t, \Theta_j(t_k), \mathbf{Y}_j(t)]$ , принимаемого от  $j$ -го НКА, определяется следующим соотношением [10, 13]:

$$F_{\Sigma}(t, \Theta_k, \mathbf{X}_k) = \sum_{j=1}^J F_j(t, \Theta_j(t_k), \mathbf{Y}_{jk}). \quad (38)$$

Соответствующая формула связи между производной по времени от парциального ( $i$ -го) ЛФП  $F_{\Sigma_i}(t, \mathbf{X}_k)$  для совокупности принимаемых ВОС-сигналов  $\mathbf{S}(t, \Theta_k = \{\vartheta_i\}, \mathbf{X}_k)$  от всех одновременно видимых  $J$  НКА и производной по времени парциального ( $i$ -го) ЛФП  $F_{ji}(t, \mathbf{Y}_{jk})$  для ВОС-сигнала

$$s_{ji}(t) = s_j[t, \Theta_j(t_k) = \{\vartheta_i\}, \mathbf{Y}_j(t)],$$

принимаемого от  $j$ -го НКА, имеет вид

$$F_{\Sigma_i}(t, \mathbf{X}_k) = \sum_{j=1}^J F_{ji}(t, \mathbf{Y}_{jk}), \quad \text{где } i = \overline{1, M}. \quad (39)$$

Формулы связи, аналогичные (38) и (39), для самих ЛФП могут быть представлены в следующем виде:

$$\Phi_{\Sigma}(t, \Theta_k, \mathbf{X}_k) = \sum_{j=1}^J \Phi_j(t, \Theta_j(t_k), \mathbf{Y}_{jk}), \quad (40)$$

$$\Phi_{\Sigma_i}(t, \mathbf{X}_k) = \sum_{j=1}^J \Phi_{ji}(t, \mathbf{Y}_{jk}), \quad (41)$$

где  $\Phi_{\Sigma}(t, \Theta_k, \mathbf{X}_k)$  – ЛФП для совокупности принимаемых ВОС-сигналов  $\mathbf{S}(t, \Theta_k, \mathbf{X}_k)$  от всех одновременно видимых  $J$  НКА;  $\Phi_{\Sigma_i}(t, \mathbf{X}_k)$  – парциальный ( $i$ -й) ЛФП для совокупности принимаемых ВОС-сигналов  $\mathbf{S}(t, \Theta_k = \{\vartheta_i\}, \mathbf{X}_k)$  от всех одновременно видимых  $J$  НКА.

Как следует из рассмотрения (29) и (32), чтобы вычислить первую  $\dot{\Phi}_{\Sigma_i}(t, \mathbf{X}_k^*)$  и вторую  $\ddot{\Phi}_{\Sigma_i}(t, \mathbf{X}_k^*)$  производные, необходимо знать

$$\frac{\partial F_{\Sigma_i}(t, \mathbf{X}_k^*)}{\partial \mathbf{X}_k^*}$$

и, следовательно, с учетом (39) требуется найти

$$\frac{\partial F_{ji}(t, \mathbf{Y}_j(t))}{\partial \mathbf{X}(t)},$$

где  $F_{ji}(t, \mathbf{Y}_j(t))$  определяется согласно (37).

Видно, что

$$\begin{aligned} \frac{\partial F_{ji}(t, \mathbf{Y}_j(t))}{\partial \mathbf{X}(t)} &= \frac{\partial F_{ji}(t, \mathbf{Y}_j(t))}{\partial \mathbf{Y}_j(t)} \frac{\partial \mathbf{Y}_j(t)}{\partial \mathbf{X}(t)} = \\ &= \frac{\partial F_{ji}(t, \mathbf{Y}_j(t))}{\partial \mathbf{Y}_j(t)} \mathbf{L}'_j(t), \end{aligned} \quad (42)$$

где матрица Якоби  $\mathbf{L}'_j(t)$  характеризуется формулой (4);  $\mathbf{Y}_j(t) = [y_{j1}(t) y_{j2}(t), \dots, y_{jm}(t)]^T$  – вектор-столбец размером  $(m \times 1)$ ;  $\mathbf{X}(t) = [x_1(t) x_2(t) \dots x_n(t)]^T$  – вектор-столбец размером  $(n \times 1)$ .

### 3.1. Субоптимальная условная оценка $\tilde{\mathbf{X}}(t_{k+1} - 0 | t_{k+1} - 0)$

Субоптимальная условная (по ДП  $\Theta_{jk}$ ) оценка  $\tilde{\mathbf{X}}_{ji}(t_{k+1} - 0 | t_{k+1} - 0)$  выборки вектора НП  $\mathbf{X}_k$  в конце первого этапа обработки на  $k$ -м такте, т.е. в момент времени  $t = t_{k+1} - 0$ , при приеме ВОС-сигнала  $s_j(t)$  (16) от  $j$ -го НКА определяется как

$$\begin{aligned} \tilde{\mathbf{X}}_{ji}(t_{k+1} - 0 | t_{k+1} - 0) &= \\ &= \int_{\mathbf{X}_k} \mathbf{X}_k \tilde{p}_{ps1}(t_{k+1} - 0, \mathbf{X}_k | j, i) d\mathbf{X}_k, \end{aligned} \quad (43)$$

где

$$\tilde{p}_{psl}(t_{k+1} - 0, \mathbf{X}_k | j, i) = \mathcal{N} \left\{ \mathbf{X}_k - \tilde{\mathbf{X}}_{j,i}(t_{k+1} - 0 | t_{k+1} - 0); \tilde{\mathbf{K}}_{j,i}(t_{k+1} - 0 | t_{k+1} - 0) \right\} \quad (44)$$

– субоптимальная условная АПВ в конце первого этапа обработки на  $k$ -м такте, т.е. в момент времени  $t = t_{k+1} - 0$ ;  $\tilde{\mathbf{X}}_{j,i}(t_{k+1} - 0 | t_{k+1} - 0)$  – субоптимальная условная оценка выборки вектора НП  $\mathbf{X}_k$  в конце первого этапа обработки на  $k$ -м такте, т.е. в момент времени  $t = t_{k+1} - 0$ ;  $\tilde{\mathbf{K}}_{j,i}(t_{k+1} - 0 | t_{k+1} - 0)$  – матрица ковариаций субоптимальных условных ошибок оценивания  $[\mathbf{X}_k - \tilde{\mathbf{X}}_{j,i}(t_{k+1} - 0 | t_{k+1} - 0)]$  в конце первого этапа обработки на  $k$ -м такте, т.е. в момент времени  $t = t_{k+1} - 0$ ;  $\mathcal{N}$  – символ гауссовского закона распределения.

Субоптимальная условная оценка  $\tilde{\mathbf{X}}_{j,i}(t_{k+1} - 0 | t_{k+1} - 0)$  в конце первого этапа обработки на  $k$ -м такте, т.е. в момент времени  $t = t_{k+1} - 0$ , на основании (28)–(30) характеризуется следующим рекуррентным соотношением:

$$\begin{aligned} \tilde{\mathbf{X}}_{j,i}(t_{k+1} - 0 | t_{k+1} - 0) = \\ = \tilde{\mathbf{X}}_0 + \tilde{\mathbf{K}}_{j,i}(t_{k+1} - 0 | t_{k+1} - 0) \Phi'_{\Sigma i}(t_{k+1} - 0, \tilde{\mathbf{X}}_0), \end{aligned} \quad (45)$$

где  $\Phi'_{\Sigma i}(t_{k+1} - 0, \tilde{\mathbf{X}}_0)$  – первая производная по вектору  $\tilde{\mathbf{X}}_0$  парциального ЛФП  $\Phi_{\Sigma i}(t, \tilde{\mathbf{X}}_0)$ , определяемая согласно (29) с учетом ограничения (5);

$$\begin{aligned} \tilde{\mathbf{X}}_0 \triangleq \tilde{\mathbf{X}}_{j,i}(t_k + 0 | t_k + 0) = \\ = \int_{\tilde{\mathbf{X}}_k} \mathbf{X}_k \tilde{p}_{ps}(t_k + 0, \mathbf{X}_k | j, i) d\mathbf{X}_k \end{aligned}$$

– субоптимальная условная оценка выборки вектора НП  $\mathbf{X}_k$  в конце второго этапа обработки на предыдущем ( $k - 1$ )-м такте, т.е. в момент времени  $t = t_k + 0$ ;  $\tilde{\mathbf{K}}_{j,i}(t_{k+1} - 0 | t_{k+1} - 0)$  – матрица ковариаций субоптимальных условных ошибок оценивания в конце первого этапа обработки на  $k$ -м такте, т.е. в момент времени  $t = t_{k+1} - 0$ ;  $j = \overline{1, J}$ ,  $i = \overline{1, M}$ . В формуле (45) парциальный ЛФП  $\Phi_{\Sigma i}(t, \tilde{\mathbf{X}}_0)$  характеризуется в соответствии с (41) и (30).

Далее применительно к субоптимальным алгоритмам (т.е. с учетом ограничения (5)) получим аналитическое соотношение, определяющее первую производную  $\Phi'_{\Sigma i}(t_{k+1} - 0, \tilde{\mathbf{X}}_0)$  для принимаемых ВОС-сигналов  $\mathbf{S}(t, \Theta_k = \{\vartheta_i\}, \mathbf{X}_k)$  (7) от всех одновременно видимых  $J$  НКА.

С этой целью, следуя формуле связи (41), сначала необходимо найти соотношение, характеризующее первую производную  $\Phi'_{ji}(t, \tilde{\mathbf{X}}_k)$  применительно к ВОС-сигналу

$$s_{ji}(t) = s_j[t, \Theta_j(t_k) = \{\vartheta_i\}, \mathbf{Y}_j(t)],$$

принимаемому от  $j$ -го НКА, где  $j = \overline{1, J}$ .

Первая производная  $\Phi'_{ji}(t, \tilde{\mathbf{X}}_k)$  на основании (42) может быть представлена в следующем виде:

$$\begin{aligned} \Phi'_{ji}(t, \tilde{\mathbf{X}}_k) &= \int_{t_k}^t \left[ \frac{\partial F_{ji}(\tau, \tilde{\mathbf{X}}_k)}{\partial \tilde{\mathbf{X}}_k} \right]^T d\tau = \\ &= \int_{t_k}^t \left[ \frac{\partial F_{ji}(\tau, \tilde{\mathbf{Y}}_{jk})}{\partial \tilde{\mathbf{Y}}_{jk}} \mathbf{L}'_j(\tau) \right]^T d\tau, \end{aligned} \quad (46)$$

где  $\tilde{\mathbf{Y}}_{jk} = \tilde{\mathbf{Y}}_j(t_k)$  – субоптимальная оценка выборки вектора ПРС  $\mathbf{Y}_{jk}$  в соответствии с (3),  $\mathbf{L}'_j(t)$  – матрица Якоби (4),  $j = \overline{1, J}$ .

Учитывая правило транспонирования произведения матриц, производную (46) представим следующим образом:

$$\Phi'_{ji}(t, \tilde{\mathbf{X}}_k) = \int_{t_k}^t [\mathbf{L}'_j(\tau)]^T \left[ \frac{\partial F_{ji}(\tau, \tilde{\mathbf{Y}}_{jk})}{\partial \tilde{\mathbf{Y}}_{jk}} \right]^T d\tau. \quad (47)$$

Формируя субоптимальные алгоритмы, на матрицы Якоби  $\mathbf{L}'_j(t)$  (4) накладываем ограничение (5) о постоянстве их во времени на каждом тактовом полуинтервале  $[t_k, t_{k+1})$ , где  $k = 0, 1, 2, \dots$  [16]. Учтя наложенное ограничение (5), матрицу Якоби  $\mathbf{L}'_j(t)$  в формуле (47) вынесем за знак интеграла. При этом производная  $\Phi'_{ji}(t, \tilde{\mathbf{X}}_k)$  упрощается и принимает вид

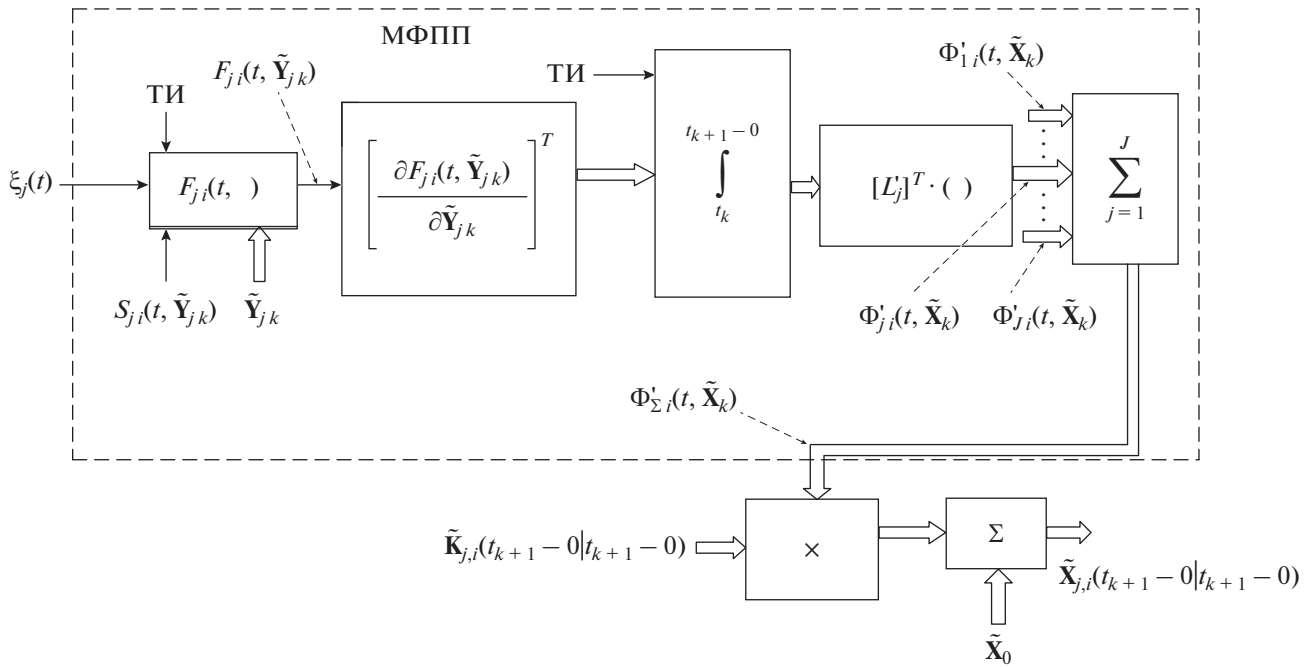
$$\Phi'_{ji}(t, \tilde{\mathbf{X}}_k) = [\mathbf{L}'_j]^T \int_{t_k}^t \left[ \frac{\partial F_{ji}(\tau, \tilde{\mathbf{Y}}_{jk})}{\partial \tilde{\mathbf{Y}}_{jk}} \right]^T d\tau, \quad (48)$$

где  $j = \overline{1, J}$ ,  $i = \overline{1, M}$ ,  $t \in [t_k, t_{k+1})$ ,  $k = 0, 1, 2, \dots$

Согласно (41) производные  $\Phi'_{ji}(t, \tilde{\mathbf{X}}_k)$  и  $\Phi'_{\Sigma i}(t, \tilde{\mathbf{X}}_k)$  взаимосвязаны следующим образом:

$$\Phi'_{\Sigma i}(t, \tilde{\mathbf{X}}_k) = \sum_{j=1}^J \Phi'_{ji}(t, \tilde{\mathbf{X}}_k). \quad (49)$$

Подставив (48) в соотношение (49), находим, что первая производная парциального ( $i$ -го) ЛФП  $\Phi'_{\Sigma i}(t, \tilde{\mathbf{X}}_k)$  (29) применительно к совокупности принимаемых ВОС-сигналов  $\mathbf{S}(t, \Theta_k = \{\vartheta_i\}, \mathbf{X}_k)$



**Рис. 1.** Структурная схема модуля формирования субоптимальной условной оценки  $\tilde{\mathbf{X}}_{j,i}(t_{k+1}-0 | t_{k+1}-0)$ : МФПП – модуль формирования первой производной, ТИ – тактовые импульсы; векторные связи показаны двойными линиями.

от всех одновременно видимых  $J$  НКА характеризуется следующей итоговой формулой:

$$\Phi'_{\Sigma i}(t, \tilde{\mathbf{X}}_k) = \sum_{j=1}^J [\mathbf{L}'_j]^T \int_{t_k}^t \left[ \frac{\partial F_{ji}(\tau, \tilde{\mathbf{Y}}_{jk})}{\partial \tilde{\mathbf{Y}}_{jk}} \right]^T d\tau, \quad (50)$$

где  $F_{ji}(\tau, \tilde{\mathbf{Y}}_{jk})$  определяется в соответствии с (37).

Таким образом, разностное уравнение для субоптимальной условной оценки  $\tilde{\mathbf{X}}_{j,i}(t_{k+1}-0 | t_{k+1}-0)$  в конце первого этапа обработки на  $k$ -м такте, т.е. в момент времени  $t = t_{k+1}-0$ , согласно (45) и с учетом (5) и (50) применительно к совокупности принимаемых ВОС-сигналов  $\mathbf{S}[t, \Theta_k, \mathbf{X}_k]$  (7) от всех одновременно видимых  $J$  НКА окончательно принимает вид

$$\tilde{\mathbf{X}}_{j,i}(t_{k+1}-0 | t_{k+1}-0) = \tilde{\mathbf{X}}_0 + \tilde{\mathbf{K}}_{j,i}(t_{k+1}-0 | t_{k+1}-0) \times \left[ \sum_{j=1}^J [\mathbf{L}'_j]^T \int_{t_k}^{t_{k+1}-0} \left[ \frac{\partial F_{ji}(\tau, \tilde{\mathbf{Y}}_{jk})}{\partial \tilde{\mathbf{Y}}_{jk}} \right]^T d\tau \right], \quad (51)$$

где матрица Якоби  $\mathbf{L}'_j$  характеризуется в соответствии с (4) и (5),  $F_{ji}(\tau, \tilde{\mathbf{Y}}_{jk})$  определяется согласно (37),  $j = \overline{1, J}$ ,  $i = \overline{1, M}$ ,  $t \in [t_k, t_{k+1})$ ,  $k = 0, 1, 2, \dots$

Как следует из сопоставления (28), (45) и (51), разностные уравнения, характеризующие квазиоптимальную условную оценку  $\mathbf{X}^*_{j,i}(t_{k+1}-0 | t_{k+1}-0)$  и субоптимальную условную оценку

$\tilde{\mathbf{X}}_{j,i}(t_{k+1}-0 | t_{k+1}-0)$ , отличаются друг от друга соотношениями для первых производных  $\Phi'_{\Sigma i}(t, \mathbf{X}_k^*)$  (29) и  $\Phi'_{\Sigma i}(t, \tilde{\mathbf{X}}_k)$  (50).

В случае субоптимальной условной оценки  $\tilde{\mathbf{X}}_{j,i}(t_{k+1}-0 | t_{k+1}-0)$  первая производная  $\Phi'_{\Sigma i}(t, \tilde{\mathbf{X}}_k)$  вычисляется по менее точной, но более простой формуле (50), чем при использовании квазиоптимальной условной оценки  $\mathbf{X}^*_{j,i}(t_{k+1}-0 | t_{k+1}-0)$ .

Структурная схема модуля формирования субоптимальной условной оценки  $\tilde{\mathbf{X}}_{j,i}(t_{k+1}-0 | t_{k+1}-0)$ , выполненная в соответствии с алгоритмами (37), (48)–(51), представлена на рис. 1.

На вход МФПП поступают сигнал  $\xi_j(t)$  (9) от  $j$ -го НКА, представляющий собой аддитивную смесь полезного ВОС-сигнала  $s_j(t)$  (10) и шума  $n_j(t)$ , а также опорный ВОС-сигнал  $S_{ji}(t, \tilde{\mathbf{Y}}_{jk})$ . На выходной сумматор МФПП поступает как сформированный в нем сигнал первой производной  $\Phi'_{ji}(t, \tilde{\mathbf{X}}_k)$ , так и поступающие с других модулей сигналы первых производных  $\Phi'_{li}(t, \tilde{\mathbf{X}}_k)$ , где  $l \neq j$ ,  $l = \overline{1, J}$ . С выхода МФПП снимается результирующий сигнал первой производной  $\Phi'_{\Sigma i}(t, \tilde{\mathbf{X}}_k)$ , который подается на вход умножителя. На другой вход умножителя подается сигнал матрицы ковариаций субоптимальных условных ошибок оце-

нивания  $\tilde{\mathbf{K}}_{j,i}(t_{k+1} - 0|t_{k+1} - 0)$ . Выходной сигнал множителя складывается в сумматоре с начальной субоптимальной условной оценкой  $\tilde{\mathbf{X}}_0$ . С выхода сумматора снимается сигнал субоптимальной условной оценки  $\tilde{\mathbf{X}}_{j,i}(t_{k+1} - 0|t_{k+1} - 0)$ .

3.2. Матрица ковариаций субоптимальных условных ошибок оценивания  $\tilde{\mathbf{K}}_{j,i}(t_{k+1} - 0|t_{k+1} - 0)$

Матрица ковариаций  $\tilde{\mathbf{K}}_{j,i}(t_{k+1} - 0|t_{k+1} - 0)$  субоптимальных условных ошибок оценивания  $[\mathbf{X}_k - \tilde{\mathbf{X}}_{j,i}(t_{k+1} - 0|t_{k+1} - 0)]$  в конце первого этапа обработки на  $k$ -м такте, т.е. в момент времени  $t = t_{k+1} - 0$ , при приеме ВОС-сигнала  $s_j(t)$  (10) от  $j$ -го НКА определяется как

$$\begin{aligned} & \tilde{\mathbf{K}}_{j,i}(t_{k+1} - 0|t_{k+1} - 0) = \\ & = \int_{\tilde{\mathbf{X}}_k} [\mathbf{X}_k - \tilde{\mathbf{X}}_{j,i}(t_{k+1} - 0|t_{k+1} - 0)] \times \\ & \times [\mathbf{X}_k - \tilde{\mathbf{X}}_{j,i}(t_{k+1} - 0|t_{k+1} - 0)]^T \times \\ & \times \tilde{p}_{ps1}(t_{k+1} - 0|\mathbf{X}_k|j,i) d\mathbf{X}_k, \end{aligned} \tag{52}$$

где  $\tilde{p}_{ps1}(t_{k+1} - 0, \mathbf{X}_k|j,i)$  – субоптимальная условная АПВ в конце первого этапа обработки на  $k$ -м такте, т.е. в момент времени  $t = t_{k+1} - 0$ , характеризуемая (44).

На основании (31)–(33) матрица ковариаций субоптимальных условных ошибок оценивания  $\tilde{\mathbf{K}}_{j,i}(t_{k+1} - 0|t_{k+1} - 0)$  в конце первого этапа обработки на  $k$ -м такте, т.е. в момент времени  $t = t_{k+1} - 0$ , применительно к совокупности принимаемых ВОС-сигналов  $\mathbf{S}[t, \Theta_k, \mathbf{X}_k]$  (7) и (13) от всех одновременно видимых  $J$  НКА характеризуется следующим разностным уравнением:

$$\begin{aligned} & \tilde{\mathbf{K}}_{j,i}(t_{k+1} - 0|t_{k+1} - 0) = \\ & = \left[ [\mathbf{K}_0]^{-1} - \Phi''_{\Sigma i}(t_{k+1} - 0, \tilde{\mathbf{X}}_0) \right]^{-1}, \end{aligned} \tag{53}$$

где  $\Phi''_{\Sigma i}(t, \tilde{\mathbf{X}}_0) \triangleq \frac{\partial^2 \Phi_{\Sigma i}(t, \tilde{\mathbf{X}}_0)}{(\partial \tilde{\mathbf{X}}_0)^2}$  – вторая производная

по вектору  $\tilde{\mathbf{X}}_0$  парциального ЛФП  $\Phi_{\Sigma i}(t, \tilde{\mathbf{X}}_0)$ , определяемая согласно (32) с учетом ограничения (5) в случае субоптимальных алгоритмов;  $\tilde{\mathbf{X}}_0 \triangleq \tilde{\mathbf{X}}_{j,i}(t_k + 0|t_k + 0)$  – субоптимальная условная оценка выборки вектора НП  $\mathbf{X}_k$  в конце второго

этапа обработки на предыдущем  $(k - 1)$ -м такте, т.е. в момент времени  $t = t_k + 0$ ;

$$\begin{aligned} & \mathbf{K}_0 \triangleq \tilde{\mathbf{K}}_{j,i}(t_k + 0|t_k + 0) = \\ & = \int_{\mathbf{X}_k} [\mathbf{X}_k - \mathbf{X}_0][\mathbf{X}_k - \mathbf{X}_0]^T \times \\ & \times \tilde{p}_{ps}(t_k + 0, \mathbf{X}_k|j,i) d\mathbf{X}_k \end{aligned} \tag{54}$$

– матрица ковариаций субоптимальных условных ошибок оценивания  $[\mathbf{X}_k - \mathbf{X}_0]$  в конце второго этапа обработки на предыдущем  $(k - 1)$ -м такте, т.е. в момент времени  $t = t_k + 0$ , при приеме ВОС-сигнала  $s_j(t)$  (10) от  $j$ -го НКА;  $k = 0, 1, 2, \dots, j = \overline{1, J}, i = \overline{1, M}$ .

Далее получим аналитическое соотношение, определяющее вторую производную по вектору  $\tilde{\mathbf{X}}_k$  парциального ( $i$ -го) ЛФП  $\Phi''_{\Sigma i}(t, \tilde{\mathbf{X}}_k)$  (32) применительно к совокупности принимаемых ВОС-сигналов  $\mathbf{S}(t, \Theta_k = \{\vartheta_i\}, \mathbf{X}_k)$  (13) от всех одновременно видимых  $J$  НКА.

Для вторых производных  $\Phi''_{\Sigma i}(t, \tilde{\mathbf{X}}_k)$  на основании формулы связи (41) выполняется следующее соотношение:

$$\Phi''_{\Sigma i}(t, \tilde{\mathbf{X}}_k) = \sum_{j=1}^J \Phi''_{ji}(t, \tilde{\mathbf{X}}_k), \tag{55}$$

где  $\Phi''_{ji}(t, \tilde{\mathbf{X}}_k)$  – вторая производная по вектору  $\tilde{\mathbf{X}}_k$  парциального ( $i$ -го) ЛФП  $\Phi_{ji}(t, \tilde{\mathbf{X}}_k)$  для принимаемого от  $j$ -го НКА полезного ВОС-сигнала  $s_j(t)$  (10).

Согласно (32) вторая производная  $\Phi''_{ji}(t, \tilde{\mathbf{X}}_k)$  может быть вычислена по формуле

$$\Phi''_{ji}(t, \tilde{\mathbf{X}}_k) = \left[ \frac{\partial}{\partial \tilde{\mathbf{X}}_k} \right]^T \frac{\partial \Phi_{ji}(t, \tilde{\mathbf{X}}_k)}{\partial \tilde{\mathbf{X}}_k}. \tag{56}$$

Выражение  $[\partial/\partial \tilde{\mathbf{X}}_k]^T$  в (56) на основании (3), (4) и (42) имеет следующий вид:

$$\begin{aligned} \left[ \frac{\partial}{\partial \tilde{\mathbf{X}}_k} \right]^T & = \left[ \frac{\partial}{\partial \tilde{\mathbf{Y}}_{jk}} \frac{\partial \tilde{\mathbf{Y}}_{jk}}{\partial \tilde{\mathbf{X}}_k} \right]^T = \left[ \frac{\partial}{\partial \tilde{\mathbf{Y}}_{jk}} \mathbf{L}'_j \right]^T = \\ & = \left[ \mathbf{L}'_j \right]^T \left[ \frac{\partial}{\partial \tilde{\mathbf{Y}}_{jk}} \right]^T. \end{aligned} \tag{57}$$

Применительно к субоптимальным алгоритмам в силу принятого ограничения (5) о постоянстве во времени матриц Якоби на тактовых полуинтервалах в (57) имеем

$$\mathbf{L}'_j(t) = \mathbf{L}'_j \triangleq \frac{\partial \mathbf{Y}_j}{\partial \mathbf{X}} = \text{const},$$

где  $t \in [t_k, t_{k+1})$ ,  $k = 0, 1, 2, \dots$  [16].

Согласно (30) и (46) с учетом (5) первая производная

$$\Phi'_{ji}(t, \tilde{\mathbf{X}}_k) \triangleq \frac{\partial \Phi_{ji}(t, \tilde{\mathbf{X}}_k)}{\partial \tilde{\mathbf{X}}_k}$$

применительно к принимаемому от  $j$ -го НКА полезному ВОС-сигналу  $s_j(t)$  (10) может быть представлена в виде

$$\frac{\partial \Phi_{ji}(t, \tilde{\mathbf{X}}_k)}{\partial \tilde{\mathbf{X}}_k} = \frac{\partial \Phi_{ji}(t, \tilde{\mathbf{X}}_k)}{\partial \tilde{\mathbf{Y}}_{jk}} \mathbf{L}'_j. \quad (58)$$

Подставив выражения (57) и (58) в формулу (56), окончательно получим, что вторая производная  $\Phi''_{ji}(t, \tilde{\mathbf{X}}_k)$  для принимаемого от  $j$ -го НКА полезного ВОС-сигнала  $s_j(t)$  (10) характеризуется следующим соотношением:

$$\Phi''_{ji}(t, \tilde{\mathbf{X}}_k) = [\mathbf{L}'_j]^T \left[ \frac{\partial}{\partial \tilde{\mathbf{Y}}_{jk}} \right]^T \frac{\partial \Phi_{ji}(t, \tilde{\mathbf{X}}_k)}{\partial \tilde{\mathbf{Y}}_{jk}} \mathbf{L}'_j, \quad (59)$$

где  $j = \overline{1, J}, i = \overline{1, M}, t \in [t_k, t_{k+1}), k = 0, 1, 2, \dots$

Применительно к совокупности принимаемых ВОС-сигналов  $\mathbf{S}(t, \Theta_k = \{\vartheta_i\}, \mathbf{X}_k)$  от всех одновременно видимых  $J$  НКА вторая производная парциального ( $i$ -го) ЛФП  $\Phi''_{\Sigma i}(t, \tilde{\mathbf{X}}_k)$  (32) на основании (55) и (59) равна:

$$\Phi''_{\Sigma i}(t, \tilde{\mathbf{X}}_k) = \sum_{j=1}^J [\mathbf{L}'_j]^T \left[ \frac{\partial}{\partial \tilde{\mathbf{Y}}_{jk}} \right]^T \frac{\partial \Phi_{ji}(t, \tilde{\mathbf{Y}}_{jk})}{\partial \tilde{\mathbf{Y}}_{jk}} \mathbf{L}'_j, \quad (60)$$

где парциальный ( $i$ -й) ЛФП  $\Phi_{ji}(t, \tilde{\mathbf{Y}}_{jk})$  для принимаемого от  $j$ -го НКА полезного ВОС-сигнала  $s_j(t)$  (10) по аналогии с (30) имеет вид

$$\Phi_{ji}(t, \tilde{\mathbf{Y}}_{jk}) = \int_{t_k}^t F_{ji}(\tau, \tilde{\mathbf{Y}}_{jk}) d\tau. \quad (61)$$

Входящая в (61) функция  $F_{ji}(\tau, \tilde{\mathbf{Y}}_{jk})$  характеризуется (37).

Согласно (61) можно записать, что

$$\frac{\partial \Phi_{ji}(t, \tilde{\mathbf{Y}}_{jk})}{\partial \tilde{\mathbf{Y}}_{jk}} = \int_{t_k}^t \frac{\partial F_{ji}(\tau, \tilde{\mathbf{Y}}_{jk})}{\partial \tilde{\mathbf{Y}}_{jk}} d\tau. \quad (62)$$

Тогда имеем, что вторая производная парциального ( $i$ -го) ЛФП  $\Phi''_{\Sigma i}(t, \tilde{\mathbf{X}}_k)$  (32) применительно к совокупности принимаемых ВОС-сигналов  $\mathbf{S}(t, \Theta_k = \{\vartheta_i\}, \mathbf{X}_k)$  от всех одновременно видимых

$J$  НКА на основании (60) с учетом (62) характеризуется следующей итоговой формулой:

$$\Phi''_{\Sigma i}(t, \tilde{\mathbf{X}}_k) = \sum_{j=1}^J [\mathbf{L}'_j]^T \left[ \frac{\partial}{\partial \tilde{\mathbf{Y}}_{jk}} \right]^T \times \times \left[ \int_{t_k}^t \frac{\partial F_{ji}(\tau, \tilde{\mathbf{Y}}_{jk})}{\partial \tilde{\mathbf{Y}}_{jk}} d\tau \right] \mathbf{L}'_j, \quad (63)$$

где  $F_{ji}(\tau, \tilde{\mathbf{Y}}_{jk})$  определяется в соответствии с (37),  $j = \overline{1, J}, i = \overline{1, M}, t \in [t_k, t_{k+1}), k = 0, 1, 2, \dots$

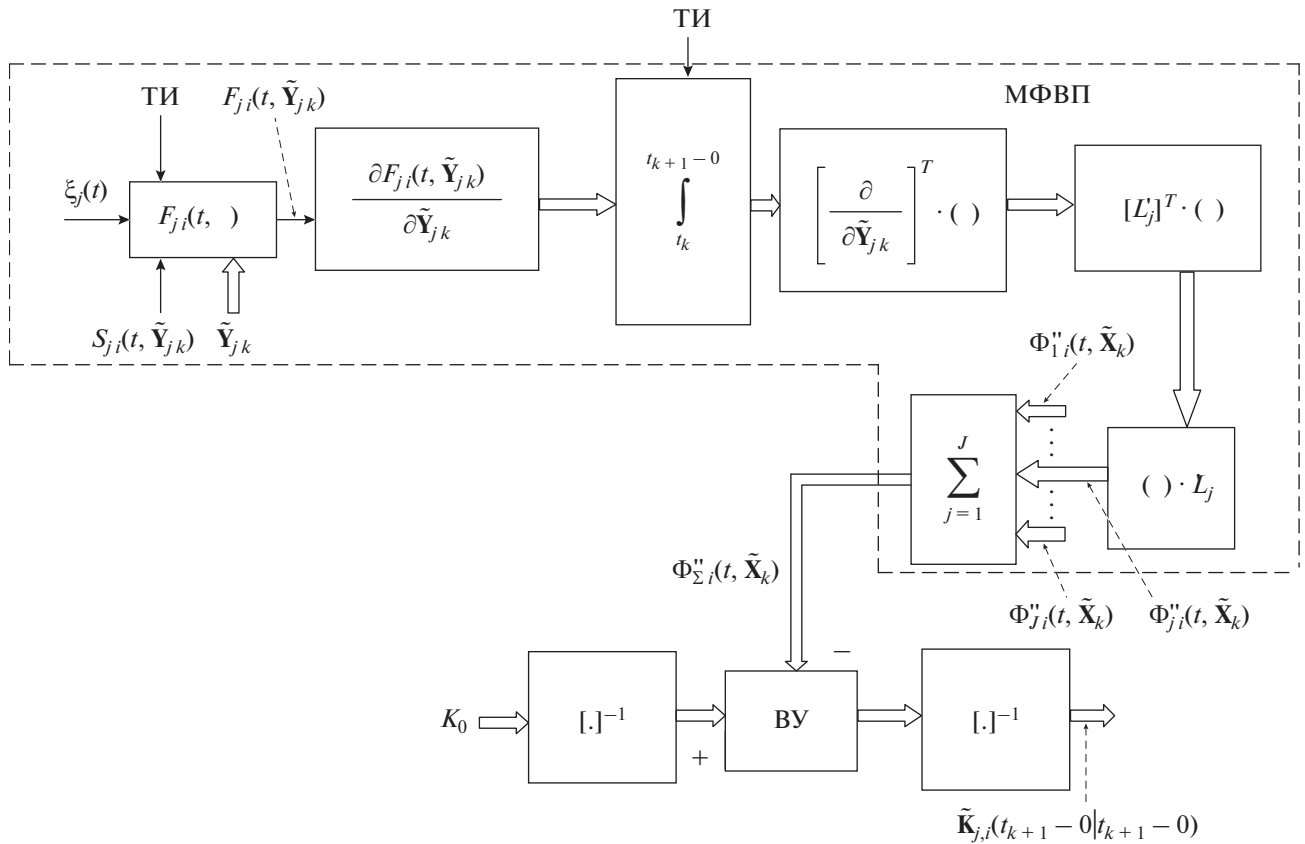
Таким образом, разностное уравнение для матрицы ковариаций  $\tilde{\mathbf{K}}_{j,i}(t_{k+1} - 0 | t_{k+1} - 0)$  субоптимальных условных ошибок оценивания  $[\mathbf{X}_k - \tilde{\mathbf{X}}_{j,i}(t_{k+1} - 0 | t_{k+1} - 0)]$  в конце первого этапа обработки на  $k$ -м такте, т.е. в момент времени  $t = t_{k+1} - 0$ , применительно к совокупности принимаемых ВОС-сигналов  $\mathbf{S}[t, \Theta_k, \mathbf{X}_k]$  (7) и (13) от всех одновременно видимых  $J$  НКА с учетом ограничения (5) имеет вид (53), где вторая производная  $\Phi''_{\Sigma i}(t, \tilde{\mathbf{X}}_k)$  определяется формулой (63).

Из сопоставления (31) и (53) видно, что разностные уравнения для матрицы ковариаций  $\mathbf{K}_{j,i}^*(t_{k+1} - 0 | t_{k+1} - 0)$  квазиоптимальных условных оценок ошибок оценивания и матрицы ковариаций  $\tilde{\mathbf{K}}_{j,i}(t_{k+1} - 0 | t_{k+1} - 0)$  субоптимальных условных оценок ошибок оценивания различаются соотношениями, определяющими их вторые производные  $\Phi''_{\Sigma i}(t, \mathbf{X}_k^*)$  (32) и  $\Phi''_{\Sigma i}(t, \tilde{\mathbf{X}}_k)$  (63).

При вычислении матрицы ковариаций субоптимальных условных оценок ошибок оценивания  $\tilde{\mathbf{K}}(t_k | t_{k+1} - 0)$  вторая производная  $\Phi''_{\Sigma i}(t, \tilde{\mathbf{X}}_k)$  вычисляется по менее точной, но более простой формуле, чем при вычислении матрицы ковариаций квазиоптимальных условных оценок ошибок оценивания  $\mathbf{K}_{j,i}^*(t_{k+1} - 0 | t_{k+1} - 0)$ .

Структурная схема модуля формирования матрицы ковариаций  $\tilde{\mathbf{K}}_{j,i}(t_{k+1} - 0 | t_{k+1} - 0)$  субоптимальных условных оценок оценивания, выполненная в соответствии с алгоритмами (37), (53)–(55) и (59)–(63), представлена на рис. 2.

На вход МФВП  $\Phi''_{\Sigma i}(t, \tilde{\mathbf{X}}_k)$  поступают сигнал  $\xi_j(t)$  (9) от  $j$ -го НКА, представляющий собой аддитивную смесь полезного ВОС-сигнала  $s_j(t)$  (10) и шума  $n_j(t)$ , а также опорный ВОС-сигнал  $S_{ji}(t, \tilde{\mathbf{Y}}_{jk})$ . Структура МФВП определяется алгоритмом (63). На выходной сумматор МФВП поступают как сформированный в нем сигнал второй производной  $\Phi''_{j,i}(t, \tilde{\mathbf{X}}_k)$ , так и поступающие с



**Рис. 2.** Структурная схема модуля формирования матрицы ковариаций  $\tilde{\mathbf{K}}_{j,i}(t_{k+1} - 0 | t_{k+1} - 0)$  субоптимальных условных ошибок оценивания: МФВП – модуль формирования второй производной, ВУ – вычитающее устройство, ТИ – тактовые импульсы; векторные связи показаны двойными линиями.

других модулей сигналы вторых производных  $\Phi''_{li}(t, \tilde{\mathbf{X}}_k)$ , где  $l \neq j, l = \overline{1, J}$ . С выхода МФВП снимается результирующий сигнал второй производной  $\Phi''_{\Sigma i}(t, \tilde{\mathbf{X}}_k)$ , который подается на вход ВУ. На другой вход ВУ подается сигнал обратной матрицы  $[\mathbf{K}_0]^{-1}$ , где  $\mathbf{K}_0$  – матрица ковариаций субоптимальных условных ошибок оценивания в конце второго этапа обработки на предыдущем  $(k-1)$ -м такте. Выходной сигнал ВУ в соответствии с алгоритмом (53) подается на модуль обращения матрицы, где и формируется сигнал матрицы ковариаций  $\tilde{\mathbf{K}}_{j,i}(t_{k+1} - 0 | t_{k+1} - 0)$  субоптимальных условных ошибок оценивания.

Алгоритмы для вычисления субоптимальной безусловной оценки  $\tilde{\mathbf{X}}(t_{k+1} - 0 | t_{k+1} - 0)$  и матрицы ковариаций  $\tilde{\mathbf{K}}(t_{k+1} - 0 | t_{k+1} - 0)$  субоптимальных безусловных ошибок оценивания в конце первого этапа обработки на  $k$ -м такте, т.е. в момент времени  $t = t_{k+1} - 0$ , по сути те же самые, что в случае квазиоптимальных алгоритмов [1].

В случае субоптимальных алгоритмов обработка сигналов на втором этапе на каждом такте производится по тем же алгоритмам, что при квазиоптимальных алгоритмах [1].

Основные соотношения субоптимальных алгоритмов для вычисления оценок ДП  $\tilde{\Theta}_{j(k+1)}, j = \overline{1, J}$ , остаются теми же, что и в случае квазиоптимальных алгоритмов [1].

### ЗАКЛЮЧЕНИЕ

Рассмотрены субоптимальный прием и обработка навигационных ШПС и, в частности, быстро развивающихся ВОС-сигналов (меандровых ШПС), которые предназначены для применения в ГНСС, таких как GPS (США), ГЛОНАСС (Россия), Galileo (Европейский союз) и BeiDou (Китай).

В представленной работе, являющейся развитием [1], на основе метода синтеза с переприсвоением параметров получены более простые аналитические соотношения – субоптимальные алгоритмы приема и обработки ВОС-сигналов в ГНСС, что важно для практической реализации.

При переходе от квазиоптимальных алгоритмов к субоптимальным учтено то, что в многоканальном приемнике ГНСС, установленном, например, на ЛА, каждый канал обработки радиосигналов функционирует применительно к своему принимаемому от  $j$ -го НКА сигналу  $s_j(t)$  (10) и к своему вектору ПРС  $\underline{Y}_j(t)$  (3), соответствующему  $j$ -му НКА, где  $j = \overline{1, J}$  ( $J$  – число всех одновременно видимых НКА).

Помимо этого, при получении аналитических соотношений субоптимальных алгоритмов на динамику компонент вектора НП  $\mathbf{X}(t)$  и векторов ПРС  $\underline{Y}_j(t)$  с целью их упрощения наложено ограничение, состоящее в том, что на каждом тактовом полуинтервале  $[t_k, t_{k+1})$  матрицы Якоби  $\underline{L}'_j(t)$ , где  $j = \overline{1, J}$ , (4) были приняты постоянными во времени (5).

Основной научный результат работы состоит в том, что получены аналитические выражения для субоптимальной условной оценки  $\tilde{\mathbf{X}}_{j,i}(t_{k+1} - 0 | t_{k+1} - 0)$  и матрицы ковариаций  $\tilde{\mathbf{K}}_{j,i}(t_{k+1} - 0 | t_{k+1} - 0)$  субоптимальных условных ошибок оценивания  $[\mathbf{X}_k - \tilde{\mathbf{X}}_{j,i}(t_{k+1} - 0 | t_{k+1} - 0)]$  в конце первого этапа обработки на  $k$ -м такте, т.е. в момент времени  $t = t_{k+1} - 0$ .

Использованная методика решения задачи синтеза субоптимальных алгоритмов приема ВОС-сигналов в полной мере применима и для тех режимов функционирования ГНСС, при которых используются не ВОС-сигналы (т.е. не меандровые ШПС), а традиционные ШПС.

#### СПИСОК ЛИТЕРАТУРЫ

1. Ярлыков М.С. // РЭ. 2022. Т. 67. № 5. С. 454.
2. Betz J.W. // Proc. National Technical Meeting of the Institute of Navigation (ION – NTM'99), San Diego. 25–27 Jan. 1999. Fairfax: ION, 1999. P. 639.
3. Betz J.W. // Navigation J. ION. 2001. V. 48. № 4. P. 227.
4. Ярлыков М. С. Меандровые шумоподобные сигналы (ВОС-сигналы) и их разновидности в спутниковых радионавигационных системах. М.: Радиотехника, 2017.
5. Шебшаевич В.С., Дмитриев П.П., Иванцевич Н.В. и др. Сетевые спутниковые радионавигационные системы. 2-е изд. М.: Радио и связь, 1993.
6. Соловьев Ю.А. Системы спутниковой навигации. М.: Эко-Трендз, 2000.
7. Ярлыков М.С. Статистическая теория радионавигации. М.: Радио и связь, 1985.
8. Стратонович Р.Л. Условные марковские процессы и их применение к теории оптимального управления. М.: Изд-во МГУ, 1966.
9. Ярлыков М.С. Применение марковской теории нелинейной фильтрации в радиотехнике. М.: Сов. радио, 1980.
10. Ярлыков М.С., Миронов М.А. Марковская теория оценивания случайных процессов. М.: Радио и связь, 1993.
11. Тихонов В.И., Харисов В.Н. Статистический анализ и синтез радиотехнических устройств и систем. Учеб. пособие для вузов. М.: Радио и связь, 1991.
12. Ярлыков М.С., Шишкин В.Ю. // РЭ. 1992. Т. 37. № 2. С. 260.
13. Ярлыков М.С., Ярлыкова С.М. // РЭ. 2021. Т. 66. № 8. С. 733.
14. Betz J.W., Blanco M.A., Cahn Ch.R. et al. // Proc. 19th Int. Technical Meeting of the Satellite Division of the Institute of Navigation (ION GNSS 2006). Fort Worth. 26–29 Sept. Fairfax: ION, 2006. P. 2080.
15. Wallner S., Hein G.W., Avila-Rodriguez J.-A. // Proc. 3rd Europ. Space Agency Workshop on Satellite Navigation, Navitec 2006. Noordwijk. 11–13 Dec. Noordwijk: ESTEC, 2006.
16. Ярлыков М.С., Ярлыкова С.М. // РЭ. 2006. Т. 51. № 8. С. 933.